

بِسْمِ اللّٰهِ الرَّحْمٰنِ الرَّحِیْمِ

۱۱.۷.۷

۸۷/۱۱.۷۲۹۵
۸۷/۱۲/۲۱



دانشگاه اصفهان
دانشکده علوم
گروه زیست شناسی

پایان نامه کارشناسی ارشد رشته ی ژنتیک

کلون نمودن ناحیه پروموتوری ژن فنیل آلانین هیدروکسیلاز انسانی

استاد راهنما:

دکتر صادق ولیان بروجنی

استاد مشاور:

دکتر کامران قائدی

پژوهشگر:

حامد اولنج

آبان ماه ۱۳۸۷

۱۱۰۷۰۷

کلیه حقوق مادی مترتب بر نتایج مطالعات، ابتکارات و نوآوری های ناشی از تحقیق موضوع این پایان نامه متعلق به دانشگاه اصفهان است.

شبهه نگارش پایان نامه
رعایت شده است
تخصیلات تکمیلی دانشگاه اصفهان



دانشگاه اصفهان
دانشکده علوم
گروه زیست‌شناسی

پایان نامه‌ی کارشناسی ارشد رشته‌ی زیست‌شناسی گرایش ژنتیک آقای حامد اولنج

تحت عنوان

کلون نمودن ناحیه پروموتوری ژن فنیل آلانین هیدروکسیلاز انسانی

در تاریخ ۸۷/۸/۱۲ توسط هیأت داوران زیر بررسی و با درجه عالی به تصویب نهایی رسید.

۱- استاد راهنمای پایان‌نامه دکتر صادق ولیان بروجنی با مرتبه‌ی علمی دانشیار

۲- استاد مشاور پایان‌نامه دکتر کامران قانندی با مرتبه‌ی علمی استادیار

۳- استاد داور داخل گروه دکتر منوچهر توسلی با مرتبه‌ی علمی استادیار

۴- استاد داور خارج از گروه دکتر معراج پورحسین با مرتبه‌ی علمی استادیار

امضا

امضا

امضای مدیر گروه

تقدیم به پدر بزرگوارم که در تمامی لحظه های زندگی مریاری نمود.

تقدیم به روح بلند مادر عزیزم که برایم چون سنگ صبور بود.

تقدیم به برادران مهربانم که درس فداکاری را به من آموختند.

به پاس آموخته ها و آنچه که سخن را توان قدر دانی از آن نیست و به پاس چشیدن جرعه ای از سرچشمه
بیکران دانش و با تقدیم احترام قلبی به تمام آنانکه در راه اعتلای دانش انسانی در کوره راه های تاریک
تجربه و آزمایش کردن قدرترین کوه های وجود خویش را به قمار نهادند، این رساله تقدیم می شود به تمام
آموزگاران و اساتیدم در دوران آموزش به ویژه اساتید محترم

جناب آقای دکتر صادق ویان بروجنی

جناب آقای دکتر کامران قلندی

امیدوارم همواره با تکیه بر ارزشها از حقایقها فاصله جسته و آهنگ سفر را با بهترین اندیشه ها استوار بدارم.
پیشرفت و سعادت حقیقی زمانی تحقق می یابد که شناخت و انگیزه با خودباوری و اراده عجمین شده و در
اوج قرار گیرند.

حامد اولج

چکیده

فنیل کتونوری یا PKU یک بیماری ژنتیکی ناشی از نقص در مسیر متابولیسمی یک اسیدآمینۀ ضروری به نام فنیل آلانین می باشد. این بیماری بصورت اتوزومی مغلوب به ارث می رسد. در این بیماران، آنزیم فنیل آلانین هیدروکسیلاز (PAH) قادر نخواهد بود اسید آمینۀ ال- فنیل آلانین (L-Phe) را به ال- تیروزین (L-Try) تبدیل کند لذا مقدار L-Phe در خون و ادرار بالا می رود. تجمع فنیل-آلانین در بدن منجر به تولید حد واسط های سمی شده که در صورت عدم درمان باعث عقب افتادگی ذهنی می شود.

ژن فنیل آلانین هیدروکسیلاز انسانی (hPAH) فاقد توالی پروموتوری TATA می باشد بطوریکه به آن TATA-less promoter می گویند ولی با وجود این دارای فاکتورهای رونوشت برداری متعددی برای شروع رونویسی می باشد. با استفاده از مدل موش های ترانس ژنتیک یک قطعه ۹ کیلو باری در ناحیه ۵' در بالا دست ژن به عنوان پروموتور فرضی آن شناسایی شده است. به نظر می رسد این ناحیه دارای عناصر کافی و لازم cis-elements برای بیان اختصاصی فنیل آلانین هیدروکسیلاز در شرایط *in vivo* باشد. این قطعه ۹ کیلو باری توسط فاکتورهای رونوشت برداری متعددی از جمله یک پروتئین اختصاصی به نام فاکتور هسته ای کبدی شماره یک (Hepatic Nuclear factor-1) رونوشت برداری می شود. مشخص شده است که این فاکتور رونوشت برداری به تنهایی قادر به بیان ژن های کبدی نبوده و فاکتورهای دیگری در بیان ژن hPAH دخیل هستند.

در این پژوهش ناحیه ۶۷۰ باری از بالادست ژن فنیل آلانین هیدروکسیلاز انسانی به منظور دستیابی به توالی پروموتری، شناسایی نحوه بیان آنزیم، عوامل و فاکتورهای موثر در بیان ژن، بررسی ناحیه پروکسیمال پروموتور PAH و شناسایی عناصر سیس موجود در آن کلون گردید. با ایجاد جهش های دلخواه در این پروموتور می توان به نقش اجزاء تشکیل دهنده پروموتور در کنترل بیان آنزیم فنیل آلانین هیدروکسیلاز پی برد. به نظر می رسد با تولید این جهش ها و انجام مطالعات بیوشیمیایی و ساختاری بر روی آن ها می توان به درک بهتری از مکانیسم عملکردی پروموتور بر روی بیان این آنزیم دست یافت و اثرات احتمالی جهش های ناشناخته آن را در سطح فنوتیپ پیش بینی کرد.

واژگان کلیدی: فنیل کتونوری، فنیل آلانین هیدروکسیلاز، ال- فنیل آلانین، فاکتور هسته ای کبدی شماره یک

فهرست مطالب

صفحه

عنوان

فصل اول: مقدمه و مروری بر منابع

۱	۱-۱- فنیل کتونوری	
۲	۲-۱- آنزیم های هیدروکسیله کننده اسیدآمینو های آروماتیک	
۳	۳-۱- آنزیم فنیل آلانین هیدروکسیلاز	
۴	۱-۳-۱- ویژگی های مولکولی و ساختاری آنزیم فنیل آلانین هیدروکسیلاز	
۸	۲-۳-۱- ویژگی های ژنتیکی آنزیم فنیل آلانین هیدروکسیلاز	
۸	۴-۱- جهش های موجود در آنزیم فنیل آلانین هیدروکسیلاز	
۱۱	۱-۴-۱- جهش های جایگزینی	
۱۱	۱-۱-۴-۱- جهش هایی که در اسیدآمینو های موجود در جایگاه فعال رخ می دهد	
۱۲	۲-۱-۴-۱- جهش های موجود در اسیدآمینو های ساختاری آنزیم	
۱۳	۳-۱-۴-۱- جهش در اسیدآمینو هایی که در برهمکنش بین دامنه ای در هر منومر دخالت دارند	
۱۳	۴-۱-۴-۱- جهش در اسیدآمینو هایی که با ARS در N-انتهایی آنزیم، برهمکنش می کنند	
۱۳	۵-۱-۴-۱- جهش در اسیدآمینو هایی که در نواحی بینابینی فرم های دایمر و تترامر آنزیم هستند	
۱۴	۲-۴-۱- جهش های حذف و اضافه	
۱۵	۵-۱- ناحیه پروموتوری ژن فنیل آلانین هیدروکسیلاز	
۱۶	۱-۵-۱- فاکتورهای رونوشت برداری هسته ای کبدی	
۱۶	۲-۵-۱- فاکتور هسته ای کبدی-۱	
۲۰	۳-۵-۱- تعیین محل های اتصال HNF-1	
۲۱	۴-۵-۱- عناصر کنترلی در پروموتور ژن فنیل آلانین هیدروکسیلاز	
۲۳	۵-۵-۱- ناحیه پروکسیمال پروموتور ژن فنیل آلانین هیدروکسیلاز	
۲۴	۱-۵-۵-۱- شناسایی محل قرارگیری فاکتورهای رونویسی در ناحیه پروکسیمال ژن <i>hPAH</i>	
۲۵	۲-۵-۵-۱- فاکتورهای رونویسی در ناحیه پروکسیمال ژن <i>hPAH</i>	
۲۵	۶-۱- تنظیم بیان آنزیم فنیل آلانین هیدروکسیلاز	
۲۶	۱-۶-۱- فعال سازی توسط فنیل آلانین	
۲۶	۲-۶-۱- فعال سازی توسط فسفریلاسیون	
۲۷	۳-۶-۱- مهار فعالیت آنزیمی توسط تتراهیدروبیوپترین	
۲۷	۴-۶-۱- مهار فعالیت آنزیمی توسط کاتکول آمین ها	

عنوان	صفحه
۷-۱- مکانیسم مولکولی واکنش	۲۸
۸-۱- کلون نمودن cDNA و ناحیه پروموتوری ژن فنیل آلانین هیدروکسیلاز	۲۹
۹-۱- اهداف این پروژه	۳۰
فصل دوم: مواد و روش‌ها	
۱-۲- سویه باکتریایی	۳۱
۲-۲- وکتور	۳۱
۳-۲- محیط های کشت	۳۳
۱-۳-۲- محیط کشت لوریا- برتنی (LB)	۳۳
۲-۳-۲- محیط کشت لوریا- برتنی آگار (LBA)	۳۴
۳-۳-۲- محیط کشت لوریا- برتنی آگار به همراه IPTG, X-Gal و آمپی سیلین	۳۵
۱-۳-۳-۲- IPTG	۳۵
۲-۳-۳-۲- X-Gal	۳۵
۳-۳-۳-۲- محیط LBA-Ampicilin X-Gal/IPTG	۳۵
۴-۲- شرایط کشت و نگهداری سوش های باکتریایی	۳۵
۱-۴-۲- باکتری اشرشیاکولی	۳۵
۵-۲- نمونه گیری	۳۶
۶-۲- استخراج DNA از خون محیطی	۳۶
۱-۶-۲- مواد مورد نیاز	۳۶
۲-۶-۲- محلول ها و بافرهای مورد نیاز	۳۶
۳-۶-۲- محلول ۰.۵٪ مولار اتیلن دی آمینو تتراستیک اسید (EDTA) (PH=8)	۳۷
۴-۶-۲- محلول ۱ مولار Tris-HCl (PH=7/5-8)	۳۷
۵-۶-۲- محلول کلرور سدیم ۶ مولار	۳۷
۶-۶-۲- محلول تریس- اتیلن دی آمین تتراستیک اسید (TE)	۳۷
۷-۶-۲- روش استخراج DNA ژنومی از سلول های خونی	۳۸
۷-۲- تعیین کیفیت و کمیت DNA	۳۹
۱-۷-۲- تعیین کیفیت و غلظت DNA به روش اسپکتروفتومتری	۳۹
۲-۷-۲- تعیین کیفیت و غلظت DNA توسط ژل آگارز	۳۹

عنوان	صفحه
۸-۲- خالص سازی نمونه های DNA از ژل	۴۰
۱-۸-۲- مواد لازم برای خالص سازی نمونه های DNA از ژل	۴۰
۲-۸-۲- طرز تهیه بافر شستشو غلیظ	۴۰
۳-۸-۲- روش استخراج و خالص سازی نمونه های DAN از ژل	۴۱
۹-۲- الکتروفورز DNA	۴۳
۱-۹-۲- مواد مورد نیاز برای الکتروفورز	۴۳
۱-۱-۹-۲- بافر TBE	۴۳
۲-۱-۹-۲- بافر TAE	۴۳
۳-۱-۹-۲- اتیدیوم بروماید	۴۴
۴-۱-۹-۲- ژل آگارز	۴۴
۵-۱-۹-۲- مارکهای DNA	۴۵
۶-۱-۹-۲- لودینگ بافر	۴۶
۲-۹-۲- روش الکتروفورز	۴۶
۱۰-۲- پرایمرها	۴۷
۱-۱۰-۲- طراحی پرایمرها	۴۷
۲-۱۰-۲- رقیق کردن پرایمرها	۴۸
۱۱-۲- تکنیک PCR	۴۸
۱-۱۱-۲- مواد مورد نیاز برای PCR	۴۸
۲-۱۱-۲- روش انجام تکنیک PCR	۴۹
۱۲-۲- تکنیک Colony-PCR	۵۰
۱۳-۲- تکنیک Insert-Check	۵۰
۱-۱۳-۲- تهیه Restriction Map برای تکنیک Insert-Check	۵۰
۲-۱۳-۲- روش انجام تکنیک Insert-Check	۵۳
۱۴-۲- تکنیک Ligation	۵۳
۱-۱۴-۲- مواد لازم برای تکنیک Ligation	۵۳
۲-۱۴-۲- روش انجام تکنیک Ligation	۵۴
۱۵-۲- تهیه سلول های مستعد <i>E.coli</i> به روش کلرید کلسیم	۵۴
۱-۱۵-۲- مواد مورد نیاز برای تهیه سلول های مستعد <i>E.coli</i>	۵۴

عنوان	صفحه
۲-۱۵-۲- روش تهیه سلول‌های مستعد <i>E. coli</i>	۵۴
۲-۱۶-۲- ترانسفورماسیون	۵۵
۲-۱۶-۱- روش انجام ترانسفورماسیون	۵۵
۲-۱۷-۱۷- Minipreparation و استخراج پلاسمید	۵۶
۲-۱۷-۱- مواد مورد نیاز برای استخراج پلاسمید	۵۶
۲-۱۷-۱-۱- محلول تریس (Tris)	۵۶
۲-۱۷-۱-۲- محلول اتیلن دی آمینو تترا استیک اسید (EDTA)	۵۷
۲-۱۷-۱-۳- بافر Tris-Base- EDTA (TE)	۵۷
۲-۱۷-۱-۴- محلول آلکالین لیزیس I	۵۷
۲-۱۷-۱-۵- محلول آلکالین لیزیس II	۵۷
۲-۱۷-۱-۶- محلول آلکالین لیزیس III	۵۷
۲-۱۷-۱-۷- محلول STE	۵۸
۲-۱۷-۲- روش استخراج پلاسمید با روش لیز قلیایی	۵۸
۲-۱۸-۱۸- هضم آنزیمی با آنزیم محدود الاثر بر روی پلاسمید pTZ57R/T-PPAH	۵۹
۲-۱۸-۱- روش هضم آنزیمی با آنزیم های محدود الاثر	۶۰
۲-۱۹-۱۹- آماده سازی و ارسال نمونه ها برای انجام توالی یابی	۶۱
فصل سوم: نتایج و مشاهدات	
۳-۱-۱- خون گیری و استخراج DNA از خون	۶۲
۳-۲-۲- تکثیر ناحیه پروموتوری از ژن فنیل آلانین هیدروکسیلاز انسانی	۶۳
۳-۲-۱- طراحی پرایمرها	۶۳
۳-۲-۲- تکثیر پروموتور ژن PAH توسط تکنیک PCR	۶۶
۳-۳-۳- نتایج هضم آنزیمی محصول PCR	۶۷
۳-۴-۴- استخراج DNA از ژل	۶۸
۳-۵-۵- تعیین غلظت DNA پروموتوری استخراج شده از ژل	۶۹
۳-۶-۶- کشت و تهیه باکتری <i>Escherichia coli</i> JM109	۷۰
۳-۷-۷- کلونینگ ناحیه پروموتوری ژن hPAH در پلاسمید pTZ57R/T	۷۱
۳-۷-۱- ترانسفورماسیون پلاسمید pComb3	۷۱

۷۱	۱-۱-۷-۳ نتایج ترانسفورماسیون پلاسمید pComb3 در سویه JM109
۷۲	۲-۱-۷-۳ کارایی ترانسفورماسیون
۷۲	۲-۷-۳ تکنیک Ligation
۷۳	۳-۷-۳ ترانسفورماسیون پلاسمید pTZ57R/T-PPAH
۷۳	۸-۳ تأیید DNA پروموتوری کلون شده
۷۳	۱-۸-۳ کلنی PCR بر روی باکتری های ترانسفورم شده با پلاسمید pTZ57R/T-PPAH
۷۴	۲-۸-۳ استخراج پلاسمید pTZ57R/T-PPAH
۷۵	۳-۸-۳ تأیید ساختار پلاسمید pTZ57R/T-PPAH توسط PCR
۷۶	۴-۸-۳ تأیید ساختار پلاسمید pTZ57R/T-PPAH توسط هضم آنزیمی
۷۷	۵-۸-۳ جهت یابی و نحوه قرارگیری پروموتور hPAH در پلاسمید pTZ57R/T-PPAH

فصل چهارم: بحث و نتیجه گیری

۸۰	۱-۴ فنیل کتونوری و آنزیم فنیل آلانین هیدروکسیلاز
۸۲	۲-۴ ناحیه پروموتوری ژن فنیل آلانین هیدروکسیلاز
۸۳	۳-۴ انجام توالی یابی
۸۳	۱-۳-۴ نتایج انجام توالی یابی
۸۳	۲-۳-۴ BLAST نمودن ناحیه پروموتوری حاصل از توالی یابی، در سایت NCBI
۸۷	۳-۳-۴ شناسایی عناصر سیس واقع در ناحیه ۶۷۰ جفت بازی از پروموتور ژن hPAH
۸۸	۱-۳-۳-۴ شناسایی جعبه های GC (GC Boxes)
۹۰	۲-۳-۳-۴ شناسایی جعبه های GRE (GRE Boxes)
۹۲	۳-۳-۳-۴ شناسایی جعبه CCAAT (CCAAT Box)
۹۲	۴-۳-۳-۴ شناسایی جعبه های AP-2 (AP-2 Boxes)
۹۳	۴-۳-۴ محل جایگاه های A, B و C در ناحیه پروکسیمال از پروموتور ژن hPAH
۹۴	۱-۴-۳-۴ محل جایگاه A در ناحیه پروکسیمال پروموتور ژن hPAH
۹۵	۲-۴-۳-۴ محل جایگاه B در ناحیه پروکسیمال پروموتور ژن hPAH
۹۵	۳-۴-۳-۴ محل جایگاه C در ناحیه پروکسیمال پروموتور ژن hPAH
۹۶	۵-۳-۴ مقایسه توالی پروکسیمال پروموتور hPAH با توالی های متناظر در موش و موش صحرایی
۹۷	۱-۵-۳-۴ مقایسه مقایسه توالی پروکسیمال پروموتور hPAH با توالی متناظر در موش
۹۷	۲-۵-۳-۴ مقایسه توالی پروکسیمال پروموتور hPAH با توالی متناظر در موش صحرایی

صفحه

عنوان

۶-۳-۴- مقایسه جایگاه های A، B و C از پروکسیمال پروموتور <i>hPAH</i> با توالی های متناظر در موش و موش صحرائی	۹۸
۴-۴- پیشنهادات	۱۰۰
منابع و مأخذ	۱۰۶

فهرست شکل‌ها

صفحه	عنوان
۳۰۰	شکل ۱-۱: واکنش هیدروکسیلاسیون توسط آنزیم های هیدروکسیله کننده اسیدآمینه های آروماتیک
۵	شکل ۱-۲: ساختار سه بعدی آنزیم فنیل آلانین هیدروکسیلاز
۶	شکل ۱-۳: نمای سه بعدی از جایگاه فعال آنزیم PAH در دامنه کاتالیتیک
۷	شکل ۱-۴: مقایسه ساختار سه بعدی دو آنزیم فنیل آلانین هیدروکسیلاز و تیروزین هیدروکسیلاز
۱۷	شکل ۱-۵: نمای شماتیک از چگونگی اتصال HNF-1 به DNA
۱۸	شکل ۱-۶: دامنه های تشکیل دهنده HNF-1 α
۱۹	شکل ۱-۷: فعالیت کواکتیویتری DCoH
۲۱	شکل ۱-۸: مقایسه قسمتی از توالی ۱/۷ کیلو بازی پروموتور ژن PAH موشی و انسانی
۲۲	شکل ۱-۹: نمای شماتیک از قسمتی از نواحی پروموتوری ژن PAH انسان و موش
۲۳	شکل ۱-۱۰: نمای شماتیک از جایگاه های HSSIII و hssIII
۱۴	شکل ۱-۱۱: فوت پرینتینگ از ناحیه پروکسیمال پروموتور ژن PAH
۲۹	شکل ۱-۱۲: مدل فرضی جایگاه فعال آنزیم فنیل آلانین هیدروکسیلاز
۳۲	شکل ۱-۲: دیاگرام شماتیک و کتور pTZ57R/T
۳۳	شکل ۲-۲: توالی ناحیه Multiple Cloning Site پلاسمید pTZ57R/T
۴۴	شکل ۲-۳: ساختار شیمیایی اتیدیوم بروماید
۴۶	شکل ۲-۴: سه نوع مارکر مورد استفاده در این پژوهش
۵۱	شکل ۲-۵: Restriction Map توالی پروموتوری ژن PAH برای آنزیم های محدودالتری که فقط آن را یک بار برش می دهند
۵۲	شکل ۲-۶: برش قطعه DNA مورد نظر بر اساس Restriction Map آنزیم SmaI
۵۲	شکل ۲-۷: لیست آنزیم های محدودالتری که برشی روی پروموتور PAH ایجاد نمی کنند
۶۳	شکل ۳-۱: DNA ژنومی استخراج شده از خون محیطی انسان
۶۴	شکل ۳-۲: نتایج حاصل از تدوین پرایمر رفت برای پروموتور ژن hPAH
۶۴	شکل ۳-۳: نتایج حاصل از تدوین پرایمر برگشت برای پروموتور ژن hPAH
۶۵	شکل ۳-۴: نتایج حاصل از Primer Duplexes برای پرایمرهای پروموتور ژن hPAH
۶۵	شکل ۳-۵: نتایج حاصل از Composition برای پرایمرهای پروموتور ژن hPAH
۶۶	شکل ۳-۶: تعیین شرایط مناسب جهت PCR در محیط نرم افزار Oligo6
۶۷	شکل ۳-۷: نتایج PCR پروموتور ژن hPAH با استفاده از پرایمرهای اختصاصی (PPAH)

- شکل ۳-۸: هضم آنزیمی محصول PCR پروموتور ژن *hPAH* ۶۸
- شکل ۳-۹: الکتروفورز ناحیه پروموتوری ژن *hPAH* با مارکر bp ۵۰ به منظور استخراج از روی ژل ۶۹
- شکل ۳-۱۰: الکتروفورز پروموتور ژن *hPAH* به منظور تعیین غلظت ۷۰
- شکل ۳-۱۱: کلنی باکتریهای *E. coli* JM109 بر روی محیط LB آگار بدون آمپی سیلین ۷۰
- شکل ۳-۱۲: کلنی باکتریهای *E. coli* JM109 با پلاسمید pComb3 ۷۱
- شکل ۳-۱۳: کلنی‌های باکتریایی *E. coli* JM109 ترانسفورم یافته با پلاسمید جدید pTZ57R/T-*PPAH* ۷۳
- شکل ۳-۱۴: تأیید ناحیه پروموتوری ژن *hPAH* کلون شده در پلاسمید pTZ57R/T-*PPAH* توسط کلنی PCR با پرایمرهای *PPAH* ۷۴
- شکل ۳-۱۵: استخراج پلاسمید pTZ57R/T-*PPAH* از باکتری *E. coli* JM109 ترانسفورم شده ۷۵
- شکل ۳-۱۶: تأیید پلاسمید pTZ57R/T-*PPAH* استخراج شده از باکتری *E. coli* JM109 ترانسفورم شده با استفاده از PCR و با حضور پرایمرهای *PPAH* ۷۶
- شکل ۳-۱۷: هضم آنزیمی پلاسمید pTZ57R/T-*PPAH* با دو آنزیم محدودالایر *EcoRI* و *RsaI* ۷۷
- شکل ۳-۱۸: دو نوع جهت گیری ممکن برای پروموتور *hPAH* در پلاسمید pTZ57R/T-*PPAH* ۷۸
- شکل ۴-۱: BLAST نمودن قسمتی از ناحیه پروموتوری ژن *hPAH* کلون شده در سایت NCBI ۸۴
- شکل ۴-۲: نتایج حاصل از مقایسه اولیه Blast 2 Sequences برای ناحیه پروموتوری ژن *hPAH* و ناحیه کلون شده ۸۵
- شکل ۴-۳: مقایسه توالی نوکلئوتیدی ناحیه پروموتوری ژن *hPAH* (استخراج شده از NCBI) و توالی نوکلئوتیدی ناحیه کلون شده ۸۶
- شکل ۴-۴: نمایی از سایت Cis-element Cluster Finder ۸۷
- شکل ۴-۵: نتایج شناسایی عناصر سیس واقع در ناحیه پروموتوری ژن فنیل آلانین هیدروکسیلاز توسط سایت Cis-element Cluster Finder ۸۸
- شکل ۴-۶: توالی مربوط به اولین GC Box در منطقه ۴۶۱- از نقطه شروع رونویسی برای ژن *hPAH* ۸۹
- شکل ۴-۷: توالی مربوط به دومین GC Box در منطقه ۲۳۷- از نقطه شروع رونویسی برای ژن *hPAH* ۸۹
- شکل ۴-۸: توالی آخرین GC Box واقع در منطقه ۱۶۰- از نقطه شروع رونویسی برای ژن *hPAH* ۹۰
- شکل ۴-۹: توالی اولین GRE Box واقع در ناحیه ۴۳۷- از نقطه شروع رونویسی برای ژن *hPAH* ۹۰
- شکل ۴-۱۰: دومین GRE Box واقع در ناحیه ۳۳۹- از نقطه شروع رونویسی برای ژن *hPAH* ۹۱

عنوان

صفحه

- شکل ۴-۱۱: آخرین GRE Box واقع در ناحیه ۱۸۱- از نقطه شروع رونویسی برای ژن *hPAH* ۹۱
- شکل ۴-۱۲: CCAAT Box واقع در ناحیه ۴۰۹- از نقطه شروع رونویسی برای ژن *hPAH* ۹۲
- شکل ۴-۱۳: اولین AP-2 Box واقع در ناحیه ۳۸۸- از نقطه شروع رونویسی برای ژن *hPAH* ۹۳
- شکل ۴-۱۴: دومین AP-2 Box واقع در ناحیه ۳۳۷- از نقطه شروع رونویسی برای ژن *hPAH* ۹۳
- شکل ۴-۱۵: توالی نوکلئوتیدی جایگاه A واقع در ناحیه ۱۰۶- از نقطه شروع رونویسی برای ژن *hPAH* ۹۴
- شکل ۴-۱۶: توالی نوکلئوتیدی جایگاه B واقع در ناحیه ۷۳- از نقطه شروع رونویسی برای ژن *hPAH* ۹۵
- شکل ۴-۱۷: توالی نوکلئوتیدی جایگاه C واقع در ناحیه ۱۰- از نقطه شروع رونویسی برای ژن *hPAH* ۹۶
- شکل ۴-۱۸: مقایسه توالی پروکسیمال پر موتور *hPAH* با توالی متناظر در موش ۹۷
- شکل ۴-۱۹: مقایسه توالی پروکسیمال پر موتور *hPAH* با توالی متناظر در موش صحرایی ۹۸
- شکل ۴-۲۰: توالی نوکلئوتیدی جایگاه C واقع در ناحیه ۱۰- از نقطه شروع رونویسی برای ژن *hPAH* ۹۶

فهرست جدول‌ها

صفحه	عنوان
۸	جدول ۱-۱: تعداد و توالی اگزون‌های cDNA ژن فنیل آلانین هیدروکسیلاز انسانی
۹	جدول ۱-۲: فرمول تعدادی از جهش‌های جایگزینی موجود در ژن فنیل آلانین هیدروکسیلاز انسان و تغییرات ساختاری حاصل از آن
۱۵	جدول ۱-۳: برخی از جهش‌های حذف و اضافه شناخته شده در ژن فنیل آلانین هیدروکسیلاز و تغییرات ساختاری حاصل از آنها LB
۳۴	جدول ۱-۲: فرمول محیط کشت LB
۴۸	جدول ۲-۲: پرایمرهای PPAH و مشخصات آنها
۴۹	جدول ۲-۳: مواد و مقادیر مورد نیاز برای یک PCR به حجم ۲۵ میکرولیتر
۵۳	جدول ۲-۴: مواد و مقادیر مورد نیاز برای واکنش لیگاسیون
۶۱	جدول ۲-۵: نحوه انجام عمل هضم آنزیمی توسط آنزیم <i>EcoRI</i>
۶۱	جدول ۲-۶: نحوه انجام عمل هضم آنزیمی توسط آنزیم <i>RsaI</i>

فصل اول

مقدمه و مروری بر منابع

۱-۱- فنیل کتونوری^۱

فنیل کتونوری یا PKU یک بیماری ژنتیکی ناشی از نقص در مسیر متابولیسمی یک اسید آمینه ضروری به نام فنیل آلانین می باشد. این بیماری بصورت اتوزومی مغلوب به ارث می رسد و در حقیقت نوعی نقص آنزیمی محسوب می شود (۱ و ۲). اثر اولیه این مهار آنزیمی عبارت است از افزایش سطح ال-فنیل آلانین^۲ در پلاسما که به آن هیپر فنیل آلانینمی^۳ می گویند (۳). کشف فنیل کتونوری توسط فولینگ^۴ در سال ۱۹۳۴ میلادی اولین موردی بود که نشان می داد یک نقص ژنتیکی باعث عقب افتادگی ذهنی می گردد (۴). فولینگ نشان داد که الگوی وراثتی این بیماری بصورت اتوزومی مغلوب می باشد و با مهار متابولیسم فنیل آلانین همراه است.

در بیماران فنیل کتونوری، آنزیم قادر نیست اسید آمینه ضروری ال-فنیل آلانین (L-Phe) را به ال-تیروزین (L-Tyr) تبدیل کند لذا مقدار ال-فنیل آلانین در خون و ترشحات بیماران (از جمله ادرار) بالا می رود (۵). تجمع فنیل آلانین در بدن منجر به تولید حد واسط های سمی شده که در صورت عدم درمان باعث عقب افتادگی ذهنی می شود (۶).

-
1. Phenylketunoria
 2. L-Phenylalanine
 3. Hyperphenylalaninemia
 4. Folling

فرد کلاسیک این بیماری (Classical PKU) برای اولین بار در سال ۱۹۳۴ توسط فولینگک شناسایی شد. تغییرات و اصول بیوشیمیایی آن هم برای اولین بار توسط جرویس^۱ و در سال ۱۹۵۳ مورد بررسی قرار گرفت (۷). در سال های بعد مشخص شد که بیماری فنیل کتونوری نتیجه نقص در آنزیم فنیل آلانین هیدروکسیلاز^۲ یا فنیل آلانین-۴-منواکسیداز است که خود ناشی از بروز جهش هایی در ژن فنیل آلانین هیدروکسیلاز می باشد. تا کنون مطالعات زیادی در رابطه با اندازه گیری فعالیت آنزیم در هر دو شرایط *in vivo* و *in vitro* صورت گرفته و نتایج آن مشخص گردیده است (۸، ۹، ۱۰ و ۱۱).

در اکثر نوزادان فنیل کتونوری آنزیم فنیل آلانین هیدروکسیلاز دچار نقص شده است. در نتیجه در بدو تولد و هنگام شیرخوارگی اسید آمینه فنیل آلانین در بدن نوزاد تجزیه نمی گردد و مقادیر زیادی از این ماده شیمیایی خطرناک در بدن فرد انباشته می شود. انباشت فنیل آلانین در خون و سایر مایعات بدن موجب صدمات و آسیب های جبران ناپذیری به بافت های مختلفی از بدن به ویژه به مغز می گردد. کودکان بیمار در ابتدای تولد ظاهراً شبیه به کودکان سالم هستند و هیچ علائمی را در بدو تولد نشان نمی دهند. اما اثرات این بیماری خیلی زود و با صدماتی جبران ناپذیر آشکار می گردد. کودک مبتلا در اثر تجمع ماده سمی فنیل آلانین و اثر مخرب آن روی مغز، هر ماه حدود ۴ نمره از بهره هوشی (IQ) خود را از دست می دهد. این بیماری با عقب ماندگی غالباً شدید ذهنی و برخی ناهنجاریهای دیگر (بیش فعالی، اختلالات گفتاری، تشنج و...) همراه است که با بالا رفتن سن کودک آشکار می شوند (۵).

امروزه در صورت شناسایی نوزادان مبتلا به بیماری فنیل کتونوری آنها را تحت رژیم های غذایی محدود شده^۳ قرار می دهند بطوریکه میزان فنیل آلانین رژیم غذایی آنان به حداقل مقدار خود می رسد (۱۲ و ۱۳).

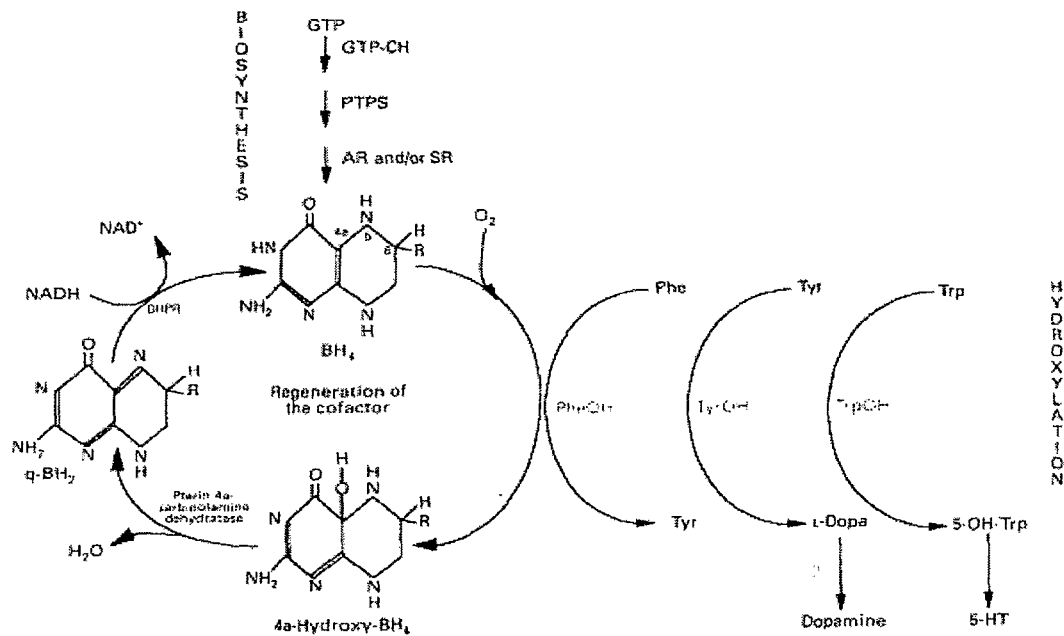
۱-۲- آنزیم های هیدروکسیله کننده اسید آمینه های آروماتیک

فنیل آلانین هیدروکسیلاز به همراه تیروزین هیدروکسیلاز^۴ و تریپتوفان هیدروکسیلاز^۵ ابر خانواده ای از آنزیم های هیدروکسیله کننده اسید آمینه های آروماتیک را تشکیل می دهند که اصلی ترین مرحله در متابولیسم

-
1. Jervis
 2. Phenylalanine Hydroxylase: PAH: PheOH
 3. Low-Phenylalanine Diet
 4. Tyrosine Hydroxylase: TH: TrpOH
 5. Tryptophan Hydroxylase: TPH: TyrOH

اسیدآمینوهای آروماتیک را کاتالیز می کنند. این سه آنزیم ویژگی های بیوشیمیایی و فیزیکی یکسانی دارند و به نظر می رسد که از یک منشأ اولیه تکامل یافته اند (۱۴، ۱۵ و ۱۶).

تیروزین هیدروکسیلاز واکنش هیدروکسیله شدن تیروزین به L-Dopa و تریپتوفان هیدروکسیلاز واکنش هیدروکسیله شدن تریپتوفان به ۵- هیدروکسی تریپتوفان را کاتالیز می کنند (۱۹). هیدروکسیلاسیون اسیدآمینوهای آروماتیک نیاز به کوفاکتورهای غیرپروتئینی^۱ دارد که از جمله این کوفاکتورها می توان به تتراهیدروبیوپترین^۲ (BH₄) اشاره کرد. این کوفاکتور با کمک آنزیم دهیدروپتیریدین ردکتاز به فرم احیاء خود در می آید و بدین گونه در هیدروکسیلاسیون اسیدآمینوهای آروماتیک مؤثر واقع می شود (شکل ۱-۱).



شکل ۱-۱: واکنش هیدروکسیلاسیون توسط آنزیم های هیدروکسیله کننده اسیدآمینوهای آروماتیک (۱۷)

۱-۳- آنزیم فنیل آلانین هیدروکسیلاز

فنیل آلانین یک اسیدآمینو ضروری است که از طریق مواد غذایی وارد بدن می شود. تنها قسمت کوچکی از اسیدآمینو فنیل آلانین موجود در بدن برای ساخت پروتئین ها بکار می رود و بقیه از طریق هیدروکسیلاسیون آنزیماتیک تبدیل به تیروزین می شود. تیروزین پیش ساز هورمون های تیروئیدی، کاتکول آمین ها و ملاتونین

1. Non-Protein Cofactor
2. Tetrahydropterin